

Name: 陈稼霖
StudentID: 45875852

Problem 7.4. 试证明，对于遵从玻尔兹曼分布的定域系统，熵函数可以表示为

$$S = -Nk \sum_s P_s \ln P_s$$

式中 P_s 是粒子处在量子态 s 的概率， $P_s = \frac{e^{-\alpha-\beta\epsilon_s}}{N} = \frac{e^{-\beta\epsilon_s}}{Z_1}$ ， \sum_s 对粒子的所有量子态求和。

对于满足经典极限条件的非定域系统，熵的表达式有何不同？

Solution: 满足玻尔兹曼分布的定域系统的熵为

$$\begin{aligned} S &= Nk \left(\ln Z_1 - \beta \frac{\partial}{\partial \beta} \ln Z_1 \right) \\ &= Nk \left(\ln Z_1 + \beta \frac{U}{N} \right) \\ &= Nk (\ln Z_1 + \beta \bar{\epsilon}) \end{aligned} \quad (1)$$

其中配分函数可表为

$$Z_1 = \frac{e^{-\beta\epsilon_s}}{P_s} \quad (2)$$

粒子平均能量可表为

$$\bar{\epsilon} = \sum_s P_s \epsilon_s \quad (3)$$

将以上两式代入熵表达式可得

$$\begin{aligned} S &= Nk \sum_s P_s \left(\ln \frac{e^{-\beta\epsilon_s}}{P_s} - \beta\epsilon_s \right) \\ &= Nk \sum_s P_s (-\beta\epsilon_s - \ln P_s + \beta\epsilon_s) \\ &= -Nk \sum_s P_s \ln P_s \end{aligned} \quad (4)$$

对于满足经典极限条件的非定域系统，其熵为

$$\begin{aligned} S &= Nk \left(\ln Z_1 - \beta \frac{\partial}{\partial \beta} \ln Z_1 \right) - k \ln N! \\ &= -Nk \sum_s P_s \ln P_s - k \ln N! \\ &= -Nk \sum_s P_s \ln P_s - Nk (\ln N - 1) \end{aligned} \quad (5)$$

□

Problem 7.6. 晶体含有 N 个原子。原子在晶体中的正常位置如图7.7中的○所示。当原子离开正常位置而占据图中的×位置时，晶体中就出现空位和间隙原子。晶体的这种

Name: 陈稼霖
StudentID: 45875852

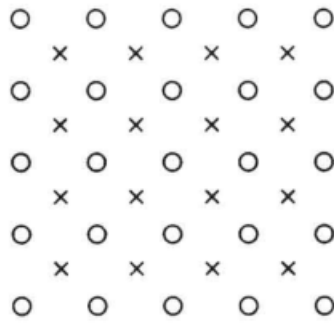


图 7.7

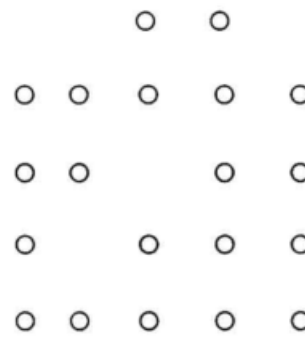


图 7.8

缺陷称为福仑克尔 (Frenkel) 缺陷。(a) 假设正常位置和间隙位置数都是 N ，试证明由于在晶体中形成 n 个空位和间隙原子而具有的熵等于

$$S = 2k \ln \frac{N!}{n!(N-n)!}$$

(b) 设原子在间隙位置和正常位置的能量差为 u 。试由自由能 $F = nu - TS$ 为极小，证明温度为 T 时，空位和间隙原子数为

$$n \approx Ne^{-\frac{u}{2kT}}, \quad (\text{设 } n \ll N)$$

Solution:

(a) 当晶体中形成 n 个空位和间隙原子时，系统可能的微观状态数为

$$\Omega = \binom{N}{n} \binom{N}{n} = \frac{N!}{n!(N-n)!} \frac{N!}{n!(N-n)!} \quad (6)$$

故此时系统的熵为

$$S = k \ln \Omega = 2k \ln \frac{N!}{n!(N-n)!} \quad (7)$$

(b) 当形成空位和间隙原子时，系统的内能为

$$U = nu + U_0 \quad (8)$$

其中 U_0 为相同温度下，无缺陷时系统的内能。

由于晶体中总粒子数 $N \gg 1$ ，利用斯特林公式，系统的自由能为

$$\begin{aligned} F &= U - TS \\ &= nu + U_0 - 2kT \ln \frac{N!}{n!(N-n)!} \\ &= nu + U_0 - 2kT [N \ln N - n \ln n - (N-n) \ln (N-n)] \end{aligned} \quad (9)$$

Name: 陈稼霖
StudentID: 45875852

由自由能极小

$$\frac{\partial F}{\partial n} = u - 2kT \ln \frac{N-n}{n} = 0 \quad (10)$$

$$\implies \ln \frac{N-n}{n} = \frac{u}{2kT} \quad (11)$$

由于缺陷数量远小于晶体中总粒子数 $n \ll N$ ，从而上式可近似化为

$$n \approx Ne^{-\frac{u}{2kT}} \quad (12)$$

□

Problem 7.7. 如果原子脱离晶体内部的正常位置而占据表面上的正常位置，构成新的一层，如图7.8所示，晶体将出现缺陷。晶体的这种缺陷成为肖脱基（Shottky）缺陷。以 N 表示晶体中的原子数， n 表示晶体中的空位数。如果忽略晶体体积的变化，试由自由能为极小的条件证明，温度为 T 时，

$$n \approx Ne^{-\frac{W}{kT}}, \quad (\text{设 } n \ll N)$$

其中 W 为原子在表面位置与正常位置的能量差。

Solution: 当出现肖脱基缺陷时，原子脱离晶体内部的正常位置而占据表面的正常位置，系统可能的微观状态数为

$$\Omega = \binom{N+n}{n} = \frac{(N+n)!}{n!N!} \quad (13)$$

故此时系统的熵为

$$S = k \ln \Omega = k \ln \frac{(N+n)!}{n!N!} \quad (14)$$

系统的内能为

$$U = nW + U_0 \quad (15)$$

其中 U_0 为相同温度下，无缺陷时系统的内能。

由于晶体中总粒子数 $N \gg 1$ ，利用斯特林公式，系统的自由能为

$$\begin{aligned} F &= U - TS \\ &= nW + U_0 - kT \ln \frac{(N+n)!}{n!N!} \\ &= nW + U_0 - kT[(N+n) \ln(N+n) - n \ln n - N \ln N] \end{aligned} \quad (16)$$

由自由能极小

$$\frac{\partial F}{\partial n} = W - kT \ln \frac{N+n}{n} = 0 \quad (17)$$

$$\implies \ln \frac{N+n}{n} = \frac{W}{kT} \quad (18)$$

Name: 陈稼霖
StudentID: 45875852

由于缺陷数量远小于晶体中总粒子数 $n \ll N$ ，从而上式可近似化为

$$n \approx Ne^{-\frac{W}{kT}} \quad (19)$$

□

Problem 7.8. 稀薄气体由某种原子构成。原子两个能级能量之差为

$$\varepsilon_2 - \varepsilon_1 = \hbar\omega_0$$

当原子从高能级 ε_2 跃迁到低能级 ε_1 时将伴随着光的发射。由于气体中原子的速度分布和多普勒效应，光谱仪观察到的不是单一频率 ω_0 的谱线，而是频率的一个分布，称为谱线的多普勒增宽。试求温度为 T 时多普勒增宽的表达式。

Solution: 假设原子质量为 m ，初态处于能级 ε_2 ，速度为 \mathbf{v}_2 ，当向 z 轴方向发射能量为 $\hbar\omega$ ，动量为 $\hbar\mathbf{k}$ 的光子后，跃迁到能级 ε_1 ，速度变为 \mathbf{v}_1 。

动量守恒和能量守恒要求

$$m\mathbf{v}_1 + \hbar\mathbf{k} = m\mathbf{v}_2 \quad (20)$$

$$\varepsilon_1 + \frac{1}{2}mv_1^2 + \hbar\omega = \varepsilon_2 + \frac{1}{2}mv_2^2 \quad (21)$$

取动量守恒式平方并除以 $2m$ 得

$$\frac{1}{2}mv_1^2 + \frac{\hbar^2 k^2}{2m} + \hbar\mathbf{v}_1 \cdot \mathbf{k} = \frac{1}{2}mv_2^2 \quad (22)$$

将上式代入能量守恒式，并利用 $\varepsilon_2 - \varepsilon_1 = \hbar\omega$ 得

$$\hbar\omega_0 = \hbar\omega - \hbar\mathbf{v}_1 \cdot \mathbf{k} - \frac{\hbar^2 k^2}{2m} \quad (23)$$

$$\implies \omega_0 = \omega - \frac{v_{1z}\omega}{c} - \frac{\hbar\omega^2}{2mc^2} \quad (24)$$

由于 $m \sim 10^{-26}\text{kg}$ ， $v_{1z} \sim 3 \times 10^2\text{m}\cdot\text{s}^{-1}$ ， $\omega \sim 10^{15}\text{s}^{-1}$ ， $\frac{v_{1z}}{c} \sim 10^{-6} \gg \frac{\hbar\omega}{2mc^2} \sim 10^{-9}$ ，故上式右边第三项可略去，得

$$\omega = \frac{\omega_0}{1 - \frac{v_{1z}}{c}} \approx \omega_0 \left(1 + \frac{v_{1z}}{c}\right) \quad (25)$$

v_{1z} 在速率范围 v_z 至 $v_z + dv_z$ 内的概率

$$f(v_z)dv_z \propto e^{-\frac{m}{2kT}v_z^2}dv_z \quad (26)$$

利用 $v_z = c\left(\frac{\omega}{\omega_0} - 1\right)$ 将上面的速率分布转换为频率分布

$$F(\omega)d\omega = \frac{e^{-\frac{m}{2kT}\frac{c^2(\omega-\omega_0)^2}{\omega_0^2}} \frac{c}{\omega_0} d\omega}{\int_0^{+\infty} e^{-\frac{m}{2kT}\frac{c^2(\omega-\omega_0)^2}{\omega_0^2}} \frac{c}{\omega_0} d\omega} = \frac{\omega_0 \left(\frac{mc^2}{kT}\right)}{\sqrt{2\pi}} e^{-\frac{m}{2kT}\frac{c^2(\omega-\omega_0)^2}{\omega_0^2}} d\omega \quad (27)$$

Name: 陈稼霖
StudentID: 45875852

从而谱线多普勒增宽的表达式为

$$F(\omega) = \frac{\omega_0 \left(\frac{mc^2}{kT} \right)}{\sqrt{2\pi}} e^{-\frac{m}{2kT} \frac{c^2(\omega - \omega_0)^2}{\omega_0^2}} \quad (28)$$

□

Problem 7.11. 表面活性物质的分子在液面上做二维自由运动，可以看做二维气体。试写出在二维气体中分子的速度分布和速率分布，并求平均速率 \bar{v} 、最概然速率 v_m 和均方均根速率 v_s 。

Solution: 二维气体中分子的速度分布为

$$\frac{m}{2\pi kT} e^{-\frac{m}{2kT}(v_x^2 + v_y^2)} dv_x dv_y \quad (29)$$

速率分布为

$$\frac{m}{2\pi kT} e^{-\frac{mv^2}{2kT}} v dv \int_0^{2\pi} d\theta = \frac{m}{kT} e^{-\frac{mv^2}{2kT}} v dv \quad (30)$$

平均速率为

$$\bar{v} = \int_0^{+\infty} \frac{m}{kT} e^{-\frac{mv^2}{2kT}} v^2 dv = \sqrt{\frac{\pi kT}{2m}} \quad (31)$$

最概然速率满足

$$\frac{d}{dv} \left(e^{-\frac{mv^2}{2kT}} v \right) = e^{-\frac{mv^2}{2kT}} \left(-\frac{mv}{kT} + 1 \right) = 0 \quad (32)$$

$$\frac{d}{dv} \left[e^{-\frac{mv^2}{2kT}} \left(-\frac{mv^2}{kT} + 1 \right) \right] = e^{-\frac{mv^2}{2kT}} \left[\left(-\frac{mv}{kT} \right) \left(-\frac{mv^2}{kT} + 1 \right) - \frac{2mv}{kT} \right] < 0 \quad (33)$$

解得最概然速率为

$$v_m = \sqrt{\frac{kT}{m}} \quad (34)$$

速率平方的平均值为

$$\overline{v^2} = \int_0^{+\infty} \frac{m}{kT} e^{-\frac{mv^2}{2kT}} v^3 dv = \frac{2kT}{m} \quad (35)$$

故方均根速率为

$$v_s = \sqrt{\overline{v^2}} = \sqrt{\frac{2kT}{m}} \quad (36)$$

□

Problem 7.12. 试根据麦氏速度分布律导出两分子的相对速度 $\mathbf{v}_r = \mathbf{v}_2 - \mathbf{v}_1$ 和相对速率 $v_r = |\mathbf{v}_r|$ 的概率分布，并求相对速率的平均值 \bar{v}_t 。

Solution: 根据麦氏速度分布律，分子1和分子2分别处在速度范围 $d\mathbf{v}_1$ 和 $d\mathbf{v}_2$ 内的概率为

$$dP = dP_1 \cdot dP_2 = \left(\frac{m_1}{2\pi kT} \right)^{3/2} e^{-\frac{m_1 v_1^2}{2kT}} d\mathbf{v}_1 \cdot \left(\frac{m_2}{2\pi kT} \right)^{3/2} e^{-\frac{m_2 v_2^2}{2kT}} d\mathbf{v}_2 \quad (37)$$

Name: 陈稼霖
StudentID: 45875852

上述两个分子的质心速率和相对速度分别为

$$\mathbf{v}_c = \frac{m_1 \mathbf{v}_1 + m_2 \mathbf{v}_2}{m_1 + m_2} \quad (38)$$

$$\mathbf{v}_r = \mathbf{v}_2 - \mathbf{v}_1 \quad (39)$$

由这两个粒子构成的系统动能既可表为

$$E_k = \frac{1}{2} m_1 v_1^2 + \frac{1}{2} m_2 v_2^2 \quad (40)$$

又可表为

$$E_k = \frac{1}{2} m_c v_c^2 + \frac{1}{2} \mu v_r^2 \quad (41)$$

其中

$$m_c = m_1 + m_2 \quad (42)$$

$$\mu = \frac{m_1 m_2}{m_1 + m_2} \quad (43)$$

因此上面的概率可同理表为

$$dP = \left(\frac{m_c}{2\pi kT} \right)^{3/2} e^{-\frac{m_c v_c^2}{2kT}} d\mathbf{v}_c \cdot \left(\frac{\mu}{2\pi kT} \right)^{3/2} e^{-\frac{\mu v_r^2}{2kT}} d\mathbf{v}_r \quad (44)$$

其中相对速度的分布为

$$dP_r = \left(\frac{\mu}{2\pi kT} \right)^{3/2} e^{-\frac{\mu v_r^2}{2kT}} d\mathbf{v}_r \quad (45)$$

相对速率的分布为

$$\left(\frac{\mu}{2\pi kT} \right)^{3/2} e^{-\frac{\mu v_r^2}{2kT}} v_r^2 dv_r d\theta \int_0^\pi \sin \theta d\theta \int_0^{2\pi} d\varphi = 4\pi \left(\frac{\mu}{2\pi kT} \right)^{3/2} e^{-\frac{\mu v_r^2}{2kT}} v_r^2 dv_r \quad (46)$$

相对速率的平均值为

$$\bar{v}_r = \int_0^{+\infty} 4\pi \left(\frac{\mu}{2\pi kT} \right)^{3/2} e^{-\frac{\mu v_r^2}{2kT}} v_r^3 dv_r = \frac{8kT}{\pi\mu} \quad (47)$$

□

Problem 7.14. 分子从器壁的小孔射出，求在射出的分子束中，分子的平均速率、方均根速率和平均能量。

Solution: 设器壁法线方向沿 z 轴，在单位时间内碰到单位面积器壁上，速度范围 dv_x, dv_y, dv_z 内的粒子数为

$$d\Gamma(v_x, v_y, v_z) = n \left(\frac{m}{2\pi kT} \right)^{3/2} e^{-\frac{m}{2kT}(v_x^2 + v_y^2 + v_z^2)} v_x dv_x dv_y dv_z \quad (48)$$

Name: 陈稼霖
StudentID: 45875852

速率范围 dv 内的粒子数为

$$\begin{aligned}
 d\Gamma(v) &= \int_0^{\frac{\pi}{2}} d\theta \int_0^{2\pi} d\phi d\Gamma(v_x, v_y, v_z) v^2 \sin \theta dv \\
 &= \int_0^{\frac{\pi}{2}} d\theta \int_0^{2\pi} d\phi n \left(\frac{m}{2\pi kT} \right)^{3/2} e^{-\frac{m}{2kT}(v_x^2 + v_y^2 + v_z^2)} v_x v^2 \sin \theta dv \\
 &= \int_0^{\frac{\pi}{2}} d\theta \int_0^{2\pi} d\phi n \left(\frac{m}{2\pi kT} \right)^{3/2} e^{-\frac{m}{2kT}(v_x^2 + v_y^2 + v_z^2)} v^3 \sin \theta \cos \theta dv \\
 &= \pi n \left(\frac{m}{2\pi kT} \right)^{3/2} e^{-\frac{m}{2kT}v^2} v^3 dv
 \end{aligned} \tag{49}$$

射出的分子束中，分子的平均速率为

$$\begin{aligned}
 \bar{v} &= \frac{\int_0^{+\infty} v d\Gamma}{\int_0^{+\infty} d\Gamma} \\
 &= \frac{\int_0^{+\infty} e^{-\frac{m}{2kT}v^2} v^4 dv}{\int_0^{+\infty} e^{-\frac{m}{2kT}v^2} v^3 dv} \\
 &= \sqrt{\frac{9\pi kT}{8m}}
 \end{aligned} \tag{50}$$

速率平方的平均值为

$$\begin{aligned}
 \overline{v^2} &= \frac{\int_0^{+\infty} v^2 d\Gamma}{\int_0^{+\infty} d\Gamma} \\
 &= \frac{\int_0^{+\infty} e^{-\frac{m}{2kT}v^2} v^5 dv}{\int_0^{+\infty} e^{-\frac{m}{2kT}v^2} v^3 dv} \\
 &= \frac{4kT}{m}
 \end{aligned} \tag{51}$$

故方均根速率为

$$v_s = \sqrt{\overline{v^2}} = \sqrt{\frac{4kT}{m}} \tag{52}$$

平均能量为

$$\bar{\varepsilon} = \frac{1}{2} m \overline{v^2} = 2kT \tag{53}$$

□

Problem 7.16. 已知粒子遵从经典玻尔兹曼分布，其能量表达式为

$$\varepsilon = \frac{1}{2m}(p_x^2 + p_y^2 + p_z^2) + ax^2 + bx$$

其中 a 、 b 是常数，求粒子的平均能量。

Solution: 粒子能量可表为

$$\varepsilon = \frac{1}{2}(p_x^2 + p_y^2 + p_z^2) + a\left(x + \frac{b}{2a}\right)^2 - \frac{b^2}{4a} \tag{54}$$

Name: 陈稼霖
StudentID: 45875852

根据能量均分定理，粒子的平均能量为

$$\bar{\varepsilon} = 2kT - \frac{b^2}{4a} \quad (55)$$

□

Problem 7.19. 对于双原子分子，常温下 kT 远大于转动的能级间距。试求双原子分子理想气体的转动熵。

Solution: 双原子分子理想气体分子的配分函数为

$$Z_1^r = \sum_{l=0}^{\infty} (2l+1) e^{-\frac{l(l+1)}{T} \theta_r} \quad (56)$$

当 kT 远大于转动的能级间距，满足经典极限条件，令 $x = l(l+1)\frac{\theta_r}{T}$ ，配分函数可近似为

$$\begin{aligned} Z_1^r &= \int_0^{\infty} (2l+1) e^{-x} \frac{dx}{(2l+1)(\theta_r/T)} \\ &= \frac{T}{\theta_r} \int_0^{\infty} e^{-x} dx \\ &= \frac{T}{\theta_r} = T \frac{2Ik}{\hbar^2} = \frac{2I}{\beta \hbar^2} \end{aligned} \quad (57)$$

其中转动特征温度 $\theta_r = \frac{\hbar^2}{2kI}$ 。

转动熵为

$$\begin{aligned} S &= Nk \left(\ln Z_1^r - \beta \frac{\partial}{\partial \beta} \ln Z_1^r \right) \\ &= Nk \left[\ln \left(\frac{2I}{\beta \hbar^2} \right) + 1 \right] \\ &= Nk \left(\ln \frac{T}{\theta_r} + 1 \right) \end{aligned} \quad (58)$$

□

Problem 7.22. 以 n 表示晶体中原子的密度。设原子的总角动量量子数为1，磁矩为 μ 。在外磁场 B 下，原子磁矩可以有三个不同的取向，即平行、垂直、反平行于外磁场。假设磁矩之间的相互作用可以忽略。试求在温度为 T 时晶体的磁化强度 M 及其在弱场高温极限和强场低温极限下的近似值。

Solution: 系统中磁矩的配分函数为

$$\begin{aligned} Z_1 &= \sum_l \bar{\omega}_l e^{-\beta \varepsilon_l} = \sum_l \bar{\omega}_l e^{-\beta \mu_z l B} \\ &= e^{\beta \mu B} + 1 + e^{-\beta \mu B} = 1 + 2 \cosh(\beta \mu B) \end{aligned} \quad (59)$$

晶体的磁化强度为

$$\begin{aligned}
 \mathcal{M} &= n\bar{\mu} \\
 &= \frac{1}{V} \sum_l \mu_{zl} a_l \\
 &= \frac{1}{V} \sum_l \frac{\partial \varepsilon_l}{\partial \mathcal{B}} a_l \\
 &= \frac{1}{V} \frac{N}{\beta} \frac{\partial}{\partial \mathcal{B}} \ln Z_1 \\
 &= \frac{n}{\beta} \frac{\partial}{\partial \mathcal{B}} \ln(1 + 2 \cosh(\beta \mu \mathcal{B})) \\
 &= n\mu \frac{2 \sinh(\beta \mu \mathcal{B})}{1 + 2 \cosh(\beta \mu \mathcal{B})}
 \end{aligned} \tag{60}$$

在弱场高温极限下有 $\beta \mu \mathcal{B} \ll 1 \implies \sinh(\beta \mu \mathcal{B}) \approx \beta \mu \mathcal{B}, \cosh(\beta \mu \mathcal{B}) \approx 1$, 故

$$\mathcal{M} = \frac{2}{3} n \beta \mu^2 \mathcal{B} \tag{61}$$

在强场高温极限下有 $\beta \mu \mathcal{B} \gg 1 \implies \sinh(\beta \mu \mathcal{B}) \approx \cosh(\beta \mu \mathcal{B}) \approx \frac{1}{2} e^{\beta \mu \mathcal{B}}$, 故

$$\mathcal{M} = n\mu \tag{62}$$

□

Problem 8.2. 试证明, 理想玻色和费米系统的熵可分别表示为

$$\begin{aligned}
 S_{B.E.} &= -k \sum_s [f_s \ln f_s - (1 + f_s) \ln(1 + f_s)] \\
 S_{F.D.} &= -k \sum_s [f_s \ln f_s + (1 - f_s) \ln(1 - f_s)]
 \end{aligned}$$

其中 f_s 为量子态 s 上的平均粒子数, \sum_s 对粒子的所有量子态求和, 并证明当 $f_s \ll 1$, 有

$$S_{B.E.} \approx S_{F.D.} \approx S_{M.B.} = -k \sum_s (f_s \ln f_s - f_s)$$

Solution: 理想玻色系统可能的微观状态数为

$$\Omega_{B.E.} = \prod_l \frac{(\omega_l + a_l - 1)!}{a_l! (\omega_l - 1)!} \tag{63}$$

Name: 陈稼霖
StudentID: 45875852

熵为

$$\begin{aligned}
 S_{B.E.} &= k \ln \Omega_{B.E.} \\
 &= k \sum_l [(\omega_l + a_l) \ln(\omega_l + a_l) - a_l \ln a_l - \omega_l \ln \omega_l] \\
 &= -k \sum_l [-(\omega_l + a_l) \ln(\omega_l + a_l) + a_l \ln a_l + (\omega_l + a_l) \ln \omega_l - a_l \ln \omega_l] \\
 &= -k \sum_l \omega_l \left[-\frac{\omega_l + a_l}{\omega_l} \ln \frac{\omega_l + a_l}{\omega_l} + \frac{a_l}{\omega_l} \ln \frac{a_l}{\omega_l} \right] \\
 &= -k \sum_l \omega_l \left[-\left(1 + \frac{a_l}{\omega_l}\right) \ln\left(1 + \frac{a_l}{\omega_l}\right) + \frac{a_l}{\omega_l} \ln \frac{a_l}{\omega_l} \right] \tag{64}
 \end{aligned}$$

由于平均粒子数

$$f_s = \frac{a_l}{\omega_l} \tag{65}$$

故熵可表为

$$\begin{aligned}
 S_{B.E.} &= -k \sum_l \omega_l [f_s \ln f_s - (1 + f_s) \ln(1 + f_s)] \\
 &= -k \sum_s [f_s \ln f_s - (1 + f_s) \ln(1 + f_s)] \tag{66}
 \end{aligned}$$

同理，理想费米系统可能的微观状态数为

$$\Omega_{F.D.} = \prod_l \frac{\omega_l!}{a_l!(\omega_l - a_l)!} \tag{67}$$

熵为

$$\begin{aligned}
 S_{F.D.} &= -k \ln \Omega_{F.D.} \\
 &= k \sum_l [\omega_l \ln \omega_l - a_l \ln a_l - (\omega_l - a_l) \ln(\omega_l - a_l)] \\
 &= -k \sum_l [-(\omega_l - a_l) \ln \omega_l - a_l \ln \omega_l + a_l \ln a_l + (\omega_l - a_l) \ln(\omega_l - a_l)] \\
 &= -k \sum_l \omega_l \left[\frac{\omega_l - a_l}{\omega_l} \ln \frac{\omega_l - a_l}{\omega_l} + \frac{a_l}{\omega_l} \ln \frac{a_l}{\omega_l} \right] \\
 &= -k \sum_l \omega_l \left[\frac{a_l}{\omega_l} \ln \frac{a_l}{\omega_l} + \left(1 - \frac{a_l}{\omega_l}\right) \ln\left(1 - \frac{a_l}{\omega_l}\right) \right] \\
 &= -k \sum_l \omega_l [f_s \ln f_s + (1 - f_s) \ln(1 - f_s)] \\
 &= -k \sum_s [f_s \ln f_s + (1 - f_s) \ln(1 - f_s)] \tag{68}
 \end{aligned}$$

当 $f_s \ll 1$ 时，有 $1 \pm f_s \approx 1$, $\ln(1 \pm f_s) = \pm f_s$ ，故

$$S_{B.E.} \approx S_{F.D.} \approx S_{M.B.} = -k \sum_s (f_s \ln f_s - f_s) \tag{69}$$

□

Name: 陈稼霖
StudentID: 45875852

Problem 8.4. 试证明，在热力学极限下均匀的二维理想玻色气体不会发生玻色凝聚。

Solution: 假设能发生玻色凝聚，在其临界温度 T_c 下，玻色系统的化学势满足

$$\frac{1}{V} \sum_l \frac{\omega_l}{e^{\frac{\varepsilon_l - \mu}{kT_c}} - 1} = n \quad (70)$$

将二维自由粒子的状态密度 $D(\varepsilon)d\varepsilon = \frac{2\pi L^2}{h^2} m d\varepsilon$ 代入并将求和换成积分得

$$\int_0^{+\infty} \frac{D(\varepsilon)d\varepsilon}{e^{\frac{\varepsilon}{kT_c}} - 1} = \frac{2\pi L^2}{h^2} m \int_0^{+\infty} \frac{d\varepsilon}{e^{\frac{\varepsilon}{kT_c}} - 1} = n \quad (71)$$

令 $x = \frac{\varepsilon}{kT_c}$ ，上式化为

$$\frac{2\pi L^2}{h^2} m k T_c \int_0^{+\infty} \frac{dx}{e^x - 1} = n \quad (72)$$

其中积分部分

$$\begin{aligned} \int_0^{+\infty} \frac{dx}{e^x - 1} &= \int_0^{+\infty} \frac{dx}{e^x(1 - e^{-x})} \\ &= \int_0^{+\infty} e^{-x} \sum_{n=0}^{\infty} e^{-nx} dx \\ &= \sum_{n=1}^{\infty} \int_0^{+\infty} e^{-nx} dx \\ &= \sum_{n=1}^{\infty} \frac{1}{n} \end{aligned}$$

发散到正无穷，这意味着粒子数密度无穷大，这是物理所不能允许的，因此假设有误，二维理想玻色气体不会发生玻色凝聚。 \square

Problem 8.5. 约束在磁光子陷阱中的理想原子气体，在三维谐振势场 $V = \frac{1}{2}m(\omega_x^2 x^2 + \omega_y^2 y^2 + \omega_z^2 z^2)$ 内运动。如果原子是玻色子，试证明： $T \leq T_c$ 时将有宏观量级的原子凝聚在能量为 $\varepsilon_0 = \frac{\hbar}{2}(\omega_x + \omega_y + \omega_z)$ 的基态。在 $N \rightarrow \infty$ 、 $\bar{\omega} \rightarrow 0$ 、 $N\bar{\omega}^3$ 保持有限的热力学极限下，临界温度 T_c 由下式确定：

$$N = 1.202 \times \left(\frac{kT_c}{\hbar\bar{\omega}} \right)^3$$

其中 $\bar{\omega} = (\omega_x, \omega_y, \omega_z)^{\frac{1}{3}}$ 。温度为 T 时，凝聚在基态的原子数 N_0 与总原子数 N 之比为

$$\frac{N_0}{N} = 1 - \left(\frac{T}{T_c} \right)^3$$

Solution: 由于 V 为三维谐振势场，故原子的能量为

$$\varepsilon_{n_x, n_y, n_z} = \hbar\omega_x(n_x + \frac{1}{2}) + \hbar\omega_y(n_y + \frac{1}{2}) + \hbar\omega_z(n_z + \frac{1}{2}) \quad (73)$$

Name: 陈稼霖
StudentID: 45875852

若原子是玻色子，则其分布为

$$a_{n_x, n_y, n_z} = \frac{1}{e^{\frac{1}{kT} [\hbar\omega_x(n_x + \frac{1}{2}) + \hbar\omega_y(n_y + \frac{1}{2}) + \hbar\omega_z(n_z + \frac{1}{2}) - \mu]} - 1} \quad (74)$$

化学势小于最低能级

$$\mu < \varepsilon_0 = \frac{\hbar}{2}(\omega_x + \omega_y + \omega_z) \quad (75)$$

且满足

$$N = \sum_{n_x, n_y, n_z} \frac{1}{e^{\frac{1}{kT} [(\omega_x n_x + \omega_y n_y + \omega_z n_z) + (\varepsilon_0 - \mu)]} - 1} \quad (76)$$

在临界温度 T_c 下， $\mu \rightarrow \varepsilon_0$

$$N = \sum_{n_x, n_y, n_z} \frac{1}{e^{\frac{\hbar}{kT_c}(\omega_x n_x + \omega_y n_y + \omega_z n_z)} - 1} \quad (77)$$

当 $\bar{\omega} = (\omega_x \omega_y \omega_z)^{1/3} \rightarrow 0$ 时，上式求和可化成积分

$$N = \int_0^{+\infty} \int_0^{+\infty} \int_0^{+\infty} \frac{dn_x dn_y dn_z}{e^{\frac{\hbar}{kT_c}(\omega_x n_x + \omega_y n_y + \omega_z n_z)} - 1} \quad (78)$$

令 $\tilde{n}_i = \frac{k\omega_i}{kT_c} n_i (i = x, y, z)$ ，上式可化为

$$\begin{aligned} N &= \left(\frac{kT_c}{\hbar\bar{\omega}} \right)^3 \int_0^{+\infty} \int_0^{+\infty} \int_0^{+\infty} \frac{d\tilde{n}_x d\tilde{n}_y d\tilde{n}_z}{e^{\tilde{n}_x + \tilde{n}_y + \tilde{n}_z} - 1} \\ &= \left(\frac{kT_c}{\hbar\bar{\omega}} \right)^3 \int_0^{+\infty} \int_0^{+\infty} \int_0^{+\infty} \frac{d\tilde{n}_x d\tilde{n}_y d\tilde{n}_z}{e^{\tilde{n}_x + \tilde{n}_y + \tilde{n}_z} [1 - e^{-(\tilde{n}_x + \tilde{n}_y + \tilde{n}_z)}]} \\ &= \left(\frac{kT_c}{\hbar\bar{\omega}} \right)^3 \int_0^{+\infty} \int_0^{+\infty} \int_0^{+\infty} e^{-(\tilde{n}_x + \tilde{n}_y + \tilde{n}_z)} \sum_{l=0}^{\infty} e^{-l(\tilde{n}_x + \tilde{n}_y + \tilde{n}_z)} \\ &= \left(\frac{kT_c}{\hbar\bar{\omega}} \right)^3 \int_0^{+\infty} \int_0^{+\infty} \int_0^{+\infty} \sum_{l=1}^{\infty} e^{-l(\tilde{n}_x + \tilde{n}_y + \tilde{n}_z)} \\ &= \left(\frac{kT_c}{\hbar\bar{\omega}} \right)^3 \sum_{l=1}^{\infty} \int_0^{\infty} e^{-l\tilde{n}_x} d\tilde{n}_x \int_0^{+\infty} \sum_{l=1}^{\infty} e^{-l\tilde{n}_y} d\tilde{n}_y \int_0^{+\infty} \sum_{l=1}^{\infty} e^{-l\tilde{n}_z} d\tilde{n}_z \\ &= \left(\frac{kT_c}{\hbar\bar{\omega}} \right)^3 \sum_{l=1}^{\infty} \frac{1}{l^3} \\ &= 1.202 \left(\frac{kT_c}{\hbar\bar{\omega}} \right)^3 \end{aligned} \quad (79)$$

$$\Rightarrow kT_c = \hbar\bar{\omega} \left(\frac{N}{1.202} \right)^{1/3} \quad (80)$$

临界温度就由上式确定。

在 $T \leq T_c$ 时，凝聚在基态的原子数为

$$N_0 = N - 1.202 \times \left(\frac{kT}{\hbar\bar{\omega}} \right)^3 \quad (81)$$

Name: 陈稼霖
StudentID: 45875852

从而凝聚在基态的原子数 N_0 与总原子数 N 之比为

$$\frac{N_0}{N} = 1 - \left(\frac{T}{T_c}\right)^3 \quad (82)$$

□

Problem 8.7. 计算温度为 T 时, 在体积 V 内光子气体的平均总光子数, 并据此估算①温度为1000K的平衡辐射和②温度为3K的宇宙背景辐射中光子的数密度。

Solution: 温度为 T 时, 在体积 V 内, 在 ω 到 $\omega + d\omega$ 的圆频率范围内的平均光子数为

$$\bar{N}(\omega, T) = \frac{V}{\pi^2 c^3} \frac{\omega^2 d\omega}{e^{\frac{\hbar\omega}{kT}} - 1} \quad (83)$$

故平均总光子数为

$$\bar{N}(T) = \int_0^{+\infty} \bar{N}(\omega, T) d\omega = \frac{V}{\pi^2 c^3} \int_0^{+\infty} \frac{\omega^2 d\omega}{e^{\frac{\hbar\omega}{kT}} - 1} \quad (84)$$

令 $x = \frac{\hbar\omega}{kT}$, 上式可化为

$$\bar{N}(T) = \frac{V}{\pi^2 c^3} \left(\frac{kT}{\hbar}\right)^3 \int_0^{+\infty} \frac{x^2 dx}{e^x - 1} \quad (85)$$

查课本附录C得

$$\bar{N}(T) = 2.404 \frac{V}{\pi^2 c^3} \left(\frac{kT}{\hbar}\right)^3 \quad (86)$$

光子数密度为

$$\bar{n}(T) = \frac{\bar{N}(T)}{V} = 2.404 \frac{1}{\pi^2 c^3} \left(\frac{kT}{\hbar}\right)^3 \quad (87)$$

① 温度为1000K的平衡辐射为中的光子数密度为

$$\bar{n}(T) = 2.404 \frac{1}{\pi^2 (3 \times 10^8)^3} \left(\frac{1.38 \times 10^{-23} \times 1000}{1.05 \times 10^{-34}}\right)^3 m^{-3} = 2.05 \times 10^{16} m^{-3} \quad (88)$$

② 温度为3K的宇宙背景辐射中光子的数密度为

$$\bar{n}(T) = 2.404 \frac{1}{\pi^2 (3 \times 10^8)^3} \left(\frac{1.38 \times 10^{-23} \times 3}{1.05 \times 10^{-34}}\right)^3 m^{-3} = 5.53 \times 10^8 m^{-3} \quad (89)$$

□

Problem 8.8. 试根据普朗克公式求平衡辐射内能密度按波长的分布:

$$u_\lambda d\lambda = \frac{8\pi hc}{\lambda^5} \frac{d\lambda}{e^{\frac{hc}{\lambda kT}} - 1}$$

并据此证明, 使辐射内能密度取极大的波长 λ_m 满足方程: ($x = hc/\lambda_m kT$)

$$5e^{-x} + x = 5$$

这个方程的数值解为 $x = 4.9651$ 。因此

$$\lambda_m T = \frac{hc}{4.9651k}$$

λ_m 随温度增加向短波方向移动。

Name: 陈稼霖
StudentID: 45875852

Solution: 根据普朗克公式, 当温度为 T 时, 在体积 V 内, 在 ω 到 $\omega + d\omega$ 的圆频率范围内的辐射场内能为

$$U(\omega, T)d\omega = \frac{V}{\pi^2 c^3} \frac{\hbar \omega^3}{e^{\frac{\hbar \omega}{kT}} - 1} d\omega \quad (90)$$

辐射内能密度为

$$u_\omega d\omega = \frac{U(\omega, T)d\omega}{V} = \frac{1}{\pi^2 c^3} \frac{\hbar \omega^3}{e^{\frac{\hbar \omega}{kT}} - 1} d\omega \quad (91)$$

利用 $\omega = \frac{2\pi c}{\lambda}$, 将上式化为按波长的分布

$$u_\lambda \left(-\frac{2\pi c}{\lambda^2} d\lambda \right) = \frac{1}{\pi^2 c^3} \frac{\hbar \left(\frac{2\pi c}{\lambda} \right)^3}{e^{\frac{\hbar (2\pi c)}{\lambda kT}} - 1} \left(-\frac{2\pi c}{\lambda^2} d\lambda \right) \quad (92)$$

$$\Rightarrow u_\lambda d\lambda = \frac{8\pi \hbar c}{\lambda^5} \frac{d\lambda}{e^{\frac{\hbar c}{\lambda kT}} - 1} \quad (93)$$

使辐射内能密度取极大的波长 λ_m 满足

$$\left. \frac{du_\lambda}{d\lambda} \right|_{\lambda_m} = \frac{8\pi \hbar c}{\lambda^6} \left[-5 - \frac{1}{e^{\frac{\hbar c}{\lambda kT}} - 1} e^{\frac{\hbar c}{\lambda kT}} \frac{\hbar c}{\lambda kT} \right] \Big|_{\lambda_m} = 0 \quad (94)$$

$$\Rightarrow 5 + \frac{e^x}{e^x - 1} x = 0 \quad (95)$$

$$\Rightarrow 5e^{-x} + x = 5 \quad (96)$$

其中 $x = \hbar c / \lambda_m kT$ 。

x_m 为曲线 $y = 5e^{-x}$ 和 $y = 5 - x$ 在 y 轴右侧交点的横坐标, 通过图解法

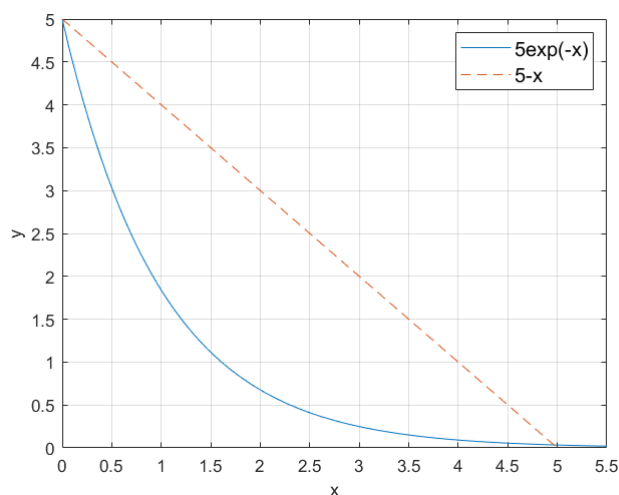


图 1: 第8.8题图解法

可得 $x = 4.9651$, 因此

$$\lambda_m T = \frac{\hbar c}{4.9651 k} \quad (97)$$

λ_m 随温度增加向短波方向移动。

□

Name: 陈稼霖
StudentID: 45875852

Problem 8.13. 银的导电电子数密度为 $5.9 \times 10^{28}/m^3$, 试求 $0K$ 时电子气体的费米能级、费米速率和简并压。

Solution: $0K$ 时电子气体的费米能量为

$$\mu_0 = \frac{\hbar^2}{2m} \left(3\pi^2 \frac{N}{V} \right)^{2/3} = \frac{(1.05 \times 10^{-34})^2}{2 \times 9.1 \times 10^{-31}} (3\pi^2 \times 5.9 \times 10^{28})^{2/3} J = 8.8 \times 10^{-19} J = 5.5 eV \quad (98)$$

费米速率为

$$v_F = \frac{\hbar}{m} \left(3\pi^2 \frac{N}{V} \right)^{1/3} = \frac{1.05 \times 10^{-34}}{9.1 \times 10^{-31}} (3\pi^2 \times 5.9 \times 10^{28})^{1/3} m/s = 1.4 \times 10^6 m/s \quad (99)$$

简并压为

$$p = \frac{2}{5} n \mu_0 = \frac{2}{5} \times 5.9 \times 10^{28} \times 8.8 \times 10^{-19} Pa = 2.1 \times 10^{10} Pa \quad (100)$$

□

Problem 8.17. 等温压缩系数 κ_T 和绝热压缩系数 κ_S 的定义分别为 $\kappa_T = -\frac{1}{V} \left(\frac{\partial V}{\partial p} \right)_T$ 和 $\kappa_S = -\frac{1}{V} \left(\frac{\partial V}{\partial p} \right)_S$ [式 (2.2.13)], 试证明对于 $0K$ 的理想费米气体,

$$\kappa_T(0) = \kappa_S(0) = \frac{3}{2} \frac{1}{n\mu(0)}$$

Solution: $0K$ 下理想费米气体的简并压为

$$p(0) = \frac{2}{5} n \mu_0 = \frac{\hbar^2}{5m} (3\pi^2)^{2/3} \left(\frac{N}{V} \right)^{5/3} \quad (101)$$

等温压缩系数为

$$\kappa_T(0) = -\frac{1}{V} \left(\frac{\partial V}{\partial p} \right) \Big|_{T=0} = -\frac{1}{V} \frac{1}{\left(\frac{\partial p}{\partial V} \right) \Big|_{T=0}} = -\frac{1}{V} \frac{1}{\frac{\hbar^3}{5m} (3\pi^2)^{2/3} \left(\frac{N}{V} \right)^{5/3} \left(-\frac{5}{3} \frac{1}{V} \right)} = \frac{3}{2} \frac{1}{n\mu(0)} \quad (102)$$

根据能斯特定理, $\lim_{T \rightarrow 0} S = 0$, 故

$$\left(\frac{\partial V}{\partial p} \right)_{T=0} = \left(\frac{\partial V}{\partial p} \right)_{S=0} \quad (103)$$

从而绝热压缩系数为

$$\kappa_S(0) = -\frac{1}{V} \left(\frac{\partial V}{\partial p} \right)_S = -\frac{1}{V} \frac{1}{\left(\frac{\partial p}{\partial V} \right) \Big|_{T=0}} = \frac{3}{2} \frac{1}{n\mu(0)} \quad (104)$$

□

Problem 8.22. 由 N 个自旋极化的粒子组成的费米气体处在径向频率为 ω_r 、轴向频率为 $\lambda\omega_r$ 的磁光陷阱内, 粒子的能量 (哈密顿量) 为

$$\varepsilon = \frac{1}{2m} (p_x^2 + p_y^2 + p_z^2) + \frac{m}{2} \omega_r^2 (x^2 + y^2 + \lambda^2 z^2)$$

试求 $0K$ 时费米气体的化学势和粒子的平均能量。假设 $N = 10^5$, $\omega_r = 3800 s^{-1}$, $\lambda^2 = 8$, 求出数值结果。

Name: 陈稼霖
StudentID: 45875852

Solution: 取能量零点为 $\hbar\epsilon(1 + \frac{\lambda}{2})$, 粒子的能量为

$$\epsilon_{n_x, n_y, n_z} = \hbar\omega(n_x + n_y + \lambda n_z), \quad n_i = 0, 1, 2, \dots (i = x, y, z) \quad (105)$$

化学势满足

$$N = \sum_{n_x, n_y, n_z} \frac{1}{e^{\beta[\hbar\omega(n_x + n_y + \lambda n_z) - \mu]} + 1} \quad (106)$$

当 N 足够大以至于 n_i 的足够多, 上式可化为积分

$$N = \iiint \frac{dn_x dn_y dn_z}{e^{\beta[\hbar\omega_r(n_x + n_y + \lambda n_z) - \mu]} + 1} \quad (107)$$

令 $\epsilon_i = n_i \hbar\omega_r$, ($i = x, y$), $\epsilon_z = \lambda n_z \hbar\omega_r$, 上式可化为

$$N = \frac{1}{\lambda(\hbar\omega_r)^3} \iiint \frac{d\epsilon_x d\epsilon_y d\epsilon_z}{e^{\beta[(\epsilon_x + \epsilon_y + \epsilon_z) - \mu]} + 1} = \frac{1}{\lambda(\hbar\omega_r)^3} \iiint \frac{d\epsilon d\epsilon_x d\epsilon_z}{e^{\beta(\epsilon - \mu)} + 1} \quad (108)$$

其中 $\epsilon = \epsilon_x + \epsilon_y + \epsilon_z$, 对给定的 ϵ , $\epsilon_x + \epsilon_y \leq \epsilon$, $\int d\epsilon_x \int d\epsilon_y = \frac{1}{2}\epsilon^2$, 故上式可化为

$$N = \frac{1}{2\lambda(\hbar\omega_r)^3} \int_0^{+\infty} \frac{\epsilon d\epsilon}{2e^{\beta(\epsilon - \mu)} + 1} = \int_0^{+\infty} \frac{D(\epsilon) d\epsilon}{e^{\beta(\epsilon - \mu)} + 1} \quad (109)$$

其中态密度 $D(\epsilon) d\epsilon = \frac{1}{2\lambda(\hbar\omega_r)^3} \epsilon^2 d\epsilon$ 。

0K时, 所有粒子尽可能处于最低的能级, 由于这是费米系统, 故粒子将会从能量零点填充到费米能级 $\mu(0)$, 此时总粒子数为

$$N = \frac{1}{2\lambda(\hbar\omega_r)^3} \int_0^{\mu(0)} \epsilon^2 d\epsilon = \frac{1}{2\lambda(\hbar\omega_r)^3} \frac{\mu^3(0)}{3} \quad (110)$$

故此时费米气体的化学势为

$$\mu(0) = \hbar\omega_r(6\lambda N)^{1/3} \quad (111)$$

粒子的平均能量为

$$\bar{\epsilon} = \frac{1}{N} \int_0^{\mu(0)} D(\epsilon) \epsilon d\epsilon = \frac{1}{2\lambda(\hbar\omega_r)^3} \frac{\mu^4(0)}{4} = \frac{3}{4} \mu(0) = \frac{3}{4} \hbar\omega_r(6\lambda N)^{1/3} \quad (112)$$

代入题设数据得

$$\mu(0) = \hbar\omega_r(6\lambda N)^{1/3} = 1.05 \times 10^{-34} \times 3800 \times (6 \times 2\sqrt{2} \times 10^5)^{1/3} J = 4.8 \times 10^{-29} J \quad (113)$$

$$\bar{\epsilon} = \frac{3}{4} \mu(0) = 3.6 \times 10^{-29} J \quad (114)$$

□

Problem 8.23. 承上题, 试求低温极限 $T \ll T_F$ 和高温极限 $T \gg T_F$ 下, 磁光陷阱中理想费米气体的化学势、内能和热容。

Name: 陈稼霖
StudentID: 45875852

Solution: 在低温极限 $T \ll T_F$ 下, 根据课本式(8.5.14), 积分

$$I = \int_0^{+\infty} \frac{\eta(\varepsilon)}{e^{\frac{\varepsilon-\mu}{kT}} - 1} d\varepsilon \quad (115)$$

可展开为

$$I = \int_0^\mu \eta(\varepsilon) d\varepsilon + \frac{\pi^2}{6} (kT)^2 \eta'(\mu) + \dots \quad (116)$$

故磁光陷阱中理想费米气体的总粒子数可写为

$$N \approx \frac{1}{6\lambda(\hbar\omega_r)^3} \mu^3 \left[1 + \pi^2 \left(\frac{kT}{\mu} \right)^2 \right] \quad (117)$$

$$\Rightarrow \mu = (6\lambda N)^{1/3} (\hbar\omega_r) \left[1 + \pi^2 \left(\frac{kT}{\mu} \right)^2 \right] \approx \mu(0) \left[1 - \frac{\pi^2}{3} \left(\frac{kT}{\mu(0)} \right)^2 \right] \quad (118)$$

气体内能为

$$\begin{aligned} U &= \frac{1}{2\lambda(\hbar\omega_r)^3} \int_0^{+\infty} \frac{\varepsilon^3 d\varepsilon}{e^{\frac{\varepsilon-\mu}{kT}} - 1} \\ &\approx \frac{1}{8\lambda(\hbar\omega_r)^3} \mu^4 \left[1 + 2\pi^2 \left(\frac{kT}{\mu} \right)^2 \right] \\ &\approx \frac{1}{8\lambda(\hbar\omega_r)^3} \mu^4(0) \left[1 - \frac{\pi^2}{3} \left(\frac{kT}{\mu(0)} \right)^2 \right]^4 \cdot \left[1 + 2\pi^2 \left(\frac{kT}{\mu(0)} \right)^2 \right] \\ &\approx \frac{3}{4} N \mu(0) \left[1 + \frac{2}{3} \pi^2 \left(\frac{kT}{\mu(0)} \right)^2 \right] \end{aligned} \quad (119)$$

热容为

$$C = \frac{dU}{dT} = Nk\pi^2 \frac{kT}{\mu(0)} \quad (120)$$

在高温极限 $T \gg T_F$ 下, 有 $e^{-\frac{\mu}{kT}} \approx e^{-\frac{T_F}{T}} \approx 1$, 系统配分函数为

$$\begin{aligned} Z_1 &= \int_0^{+\infty} D(\varepsilon) e^{-\beta\varepsilon} d\varepsilon \\ &= \frac{1}{2\lambda(\hbar\omega_r)^3} \int_0^{+\infty} e^{-\beta\varepsilon} \varepsilon^2 d\varepsilon \\ &= \frac{1}{2\lambda(\hbar\omega_r)^3} \frac{2}{\beta^3} \end{aligned} \quad (121)$$

内能为

$$U = -N \frac{\partial}{\partial \beta} \ln Z_1 = 3NkT \quad (122)$$

热容为

$$C = \frac{dU}{dT} = 3kN \quad (123)$$

化学势为

$$\mu = -kT \ln \frac{Z_1}{N} = -kN \left[6 \left(\frac{kT}{\mu(0)} \right)^3 \right] \quad (124)$$

□